

A close-up photograph of a person's hands typing on a computer keyboard. The hands are positioned on the top row of keys, likely the function keys. The background is slightly blurred, showing more of the keyboard and a blue patterned shirt.

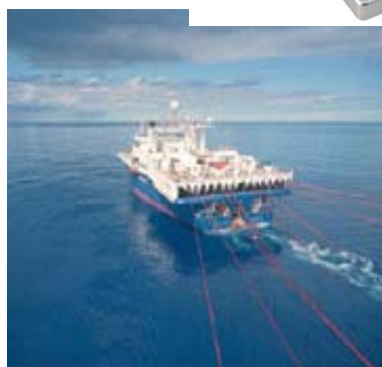
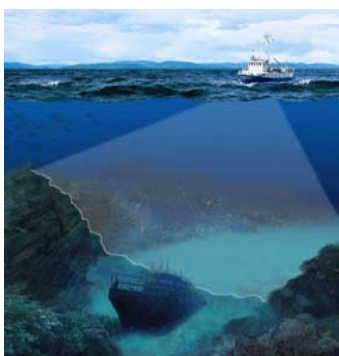
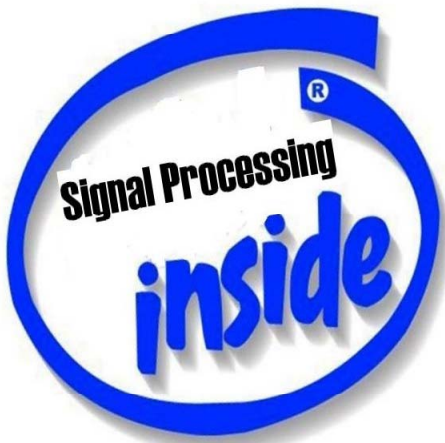
INF3470/4470 Digital signalbehandling

Introduksjon

Sverre Holm



UNIVERSITETET
I OSLO



Hvordan virker ...

- CD og lydkoding (mp3 ~1:12)
- Lyd-filtrering og –effekter
- GPS
- ...
- Se kap 7.6 - 7.10 for andre anvendelser

INF3470/4470 - Digital signalbehandling

- Et teoretisk og praktisk fag!
 - 3 - 4t forelesning (mandag 12.15-14 og tirsdag 12.15-13/14)
 - 2t regneverksted (torsdag)
 - 2t obligatorisk gruppe (onsdag)
- 1. Forelesning
 - ukas pensum går gjennom og man forventes å forsøke seg på oppgavene
- 2. Regneverksted
 - studentene får hjelp/tips til å løse de oppgavene de ikke har fått til
- 3. Øvelse
 - studentene leverer løsninger av oppgavene som blir gjennomgått og rettet.
 - Krav til å få gå opp til eksamen er at studentene har fått godkjent 40/60% av alle oppgavene som er gitt i kurset (dvs innlevert på øvelsestimen i tillegg til å være korrekt nok).

21. august 2012

4

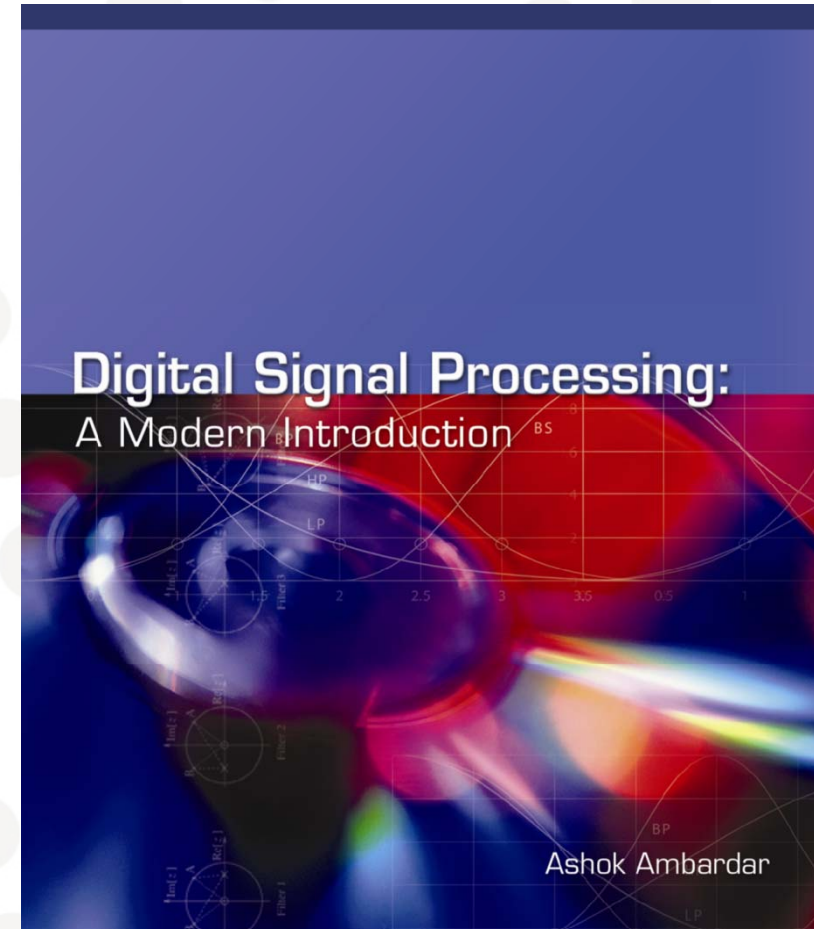


UNIVERSITETET
I OSLO

Praktisk info

- Se webside for kurset:
- <http://www.uio.no/studier/emner/matnat/ifi/INF3470/>

- Følger boka
- Bruker en god del andre oppgaver



21. august 2012

5

Oversikt over pensum

- I kapittel 2 lærer dere om signaler, som er den mest grunnleggende størrelsen i faget
- I kapittel 3 lærer dere om systemer eller filtre som først og fremst brukes til å manipulere signaler.
- I kapittel 4 lærer dere om z-transformasjonen, som brukes til å analysere og designe filtre.
- I kapittel 5 lærer dere om Fourier-transformasjonen, som brukes til å analysere både signaler og systemer med hensyn til frekvensinnhold.
- I kapittel 6 lærer dere om hvordan man tolker systemer ved hjelp av Fourier-transformasjoner.
- I kapittel 7 lærer dere om effekten av å behandle analoge signaler med digitale teknikker, og hvilke kriterier som må oppfylles.
- I kapittel 8 lærer dere om en spesiell Fourier-transformasjon (DFT) som kan brukes på de signaler som er periodiske eller har endelig lengde.
- I kapittel 9 og 10 lærer dere hvordan dere skal designe filtrefra de to hovedtypene dere lærer om i dette kurset: IIR og FIR.



Contents

- Chapter 1 Overview
- Chapter 2 Discrete Signals
- Chapter 3 Time-Domain Analysis
- Chapter 4 z-Transform Analysis
- Chapter 5 Frequency Domain Analysis
- Chapter 6 Filter Concepts
- Chapter 7 Digital Processing of Analog Signals
- Chapter 8 The Discrete Fourier Transform and Its Applications (kurstorisk 8.11-8.12)
- Chapter 9 Design of IIR Filters (kurstorisk 9.3-9.5 og 9.7)
- Chapter 10 Design of FIR Filters (kurstorisk 10.9-10.10)
- Appendix A Useful Concepts from Analog Theory

Pensum

- Etter å ha fullført kurset vil dere ha kjennskap til de fleste begreper innen digital signalbehandling.
- Dere vil i tillegg ha fått god trening i å utføre de mest sentrale operasjonene.
- Forelesere:
 - Kapittel 2-3, 6-7, 9: Sverre Holm
 - Kapittel 4-5, 8,10: Jo Inge Buskenes
- Ukeoppgavene er valgt for å gi
 - økt forståelse av pensum
 - direkte trening til eksamen.
- Erfaringsmessig må dere gjøre flere oppgaver enn de vi gir for å få tilstrekkelig trening med teknikkene.

Andre kurs relatert til signalbehandling

Våre kurs:

- INF-GEO4310 - Avbildning (høst)
- INF4480 - Digital signalbehandling II (vår)
- INF5410 - Signalbehandling i rom og tid (vår)

Blogg:

- [Signalbehandling: litt matematikk, litt fysikk og litt informatikk](#)

Andre kurs:

- FYS3240 - PC-basert instrumentering og mikrokontrollere (vår)
- GEO4280 - Seismisk signalbehandling (vår)
- MUS4800 - Lydteori 1 (høst)
- UNIK4170 - Digital kommunikasjon, del 1 (høst)

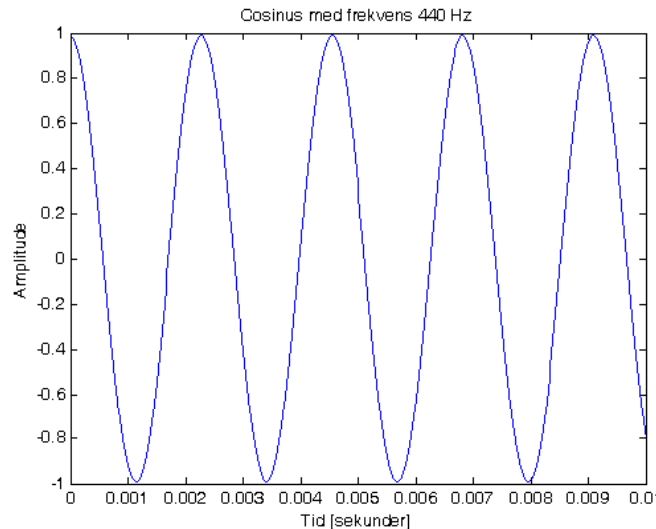


Signaler: Sinus i tid og frekvens

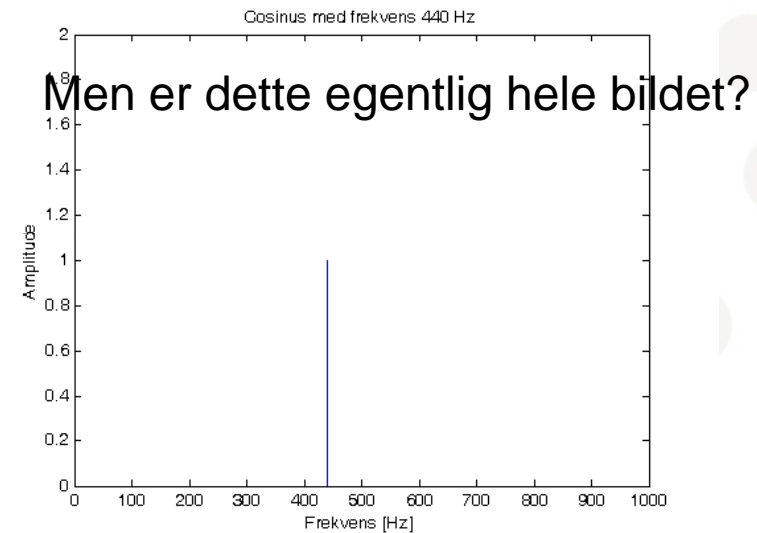
- Cosinus med frekvens f , vinkelfrekvens ω :

$$\cos(2\pi f \cdot t) = \cos(\omega \cdot t)$$

- Enstrøken a: $f=440$ Hz
- Tidsdomenet:



Frekvensdomenet:



21. august 2012

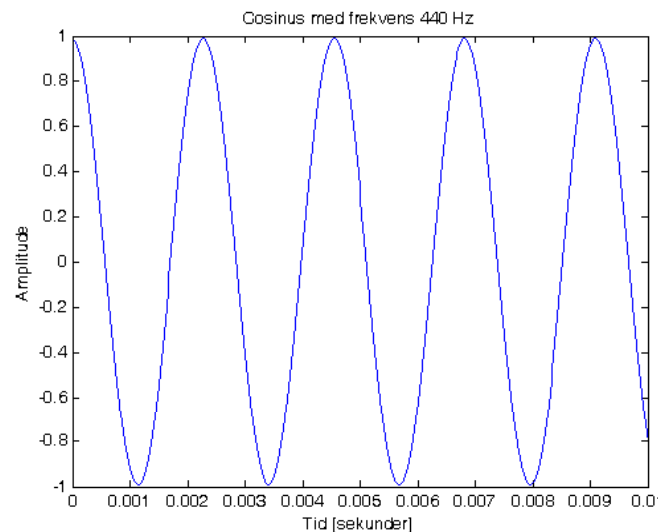
10

Sinus i tids- og frekvensdomenet

- Kompleks notasjon

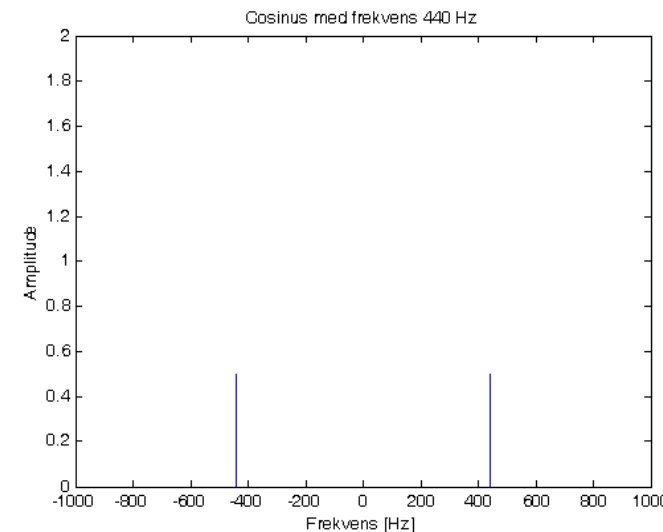
$$\cos(2\pi f \cdot t) = \cos(\omega \cdot t) = \frac{1}{2}(e^{j\omega t} + e^{-j\omega t})$$

- Også negative frekvenser
- Tidsdomenet:



21. august 2012

Frekvensdomenet:

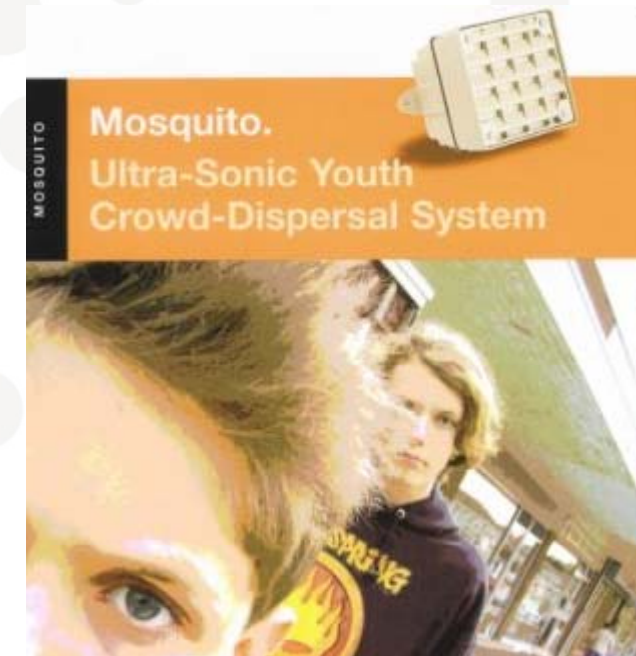


11

Kan du høre tonen?

- Mosquito
 - A pulsed, near ultrasonic tone at around **16kHz**
 - The sound, though not painful in any way, becomes highly annoying after 5 min or so
 - Most under 20s leave the immediate area
 - The majority of those over the age of 30 either just hear, or are totally unaware of any noise.
 - Natural age-related hearing loss
 - <http://www.mosquito-ni.com/>

- Kan du høre den?
 - Toner (Adobe Audition) eller Audacity (freeware)
 - Toner i området 12-20 kHz



12

Frekvensinnhold i tale og musikk

- Utgangspunkt: 800 Hz
 - Adobe Audition, filtre



- Bedre og bedre gjengivelse:
 - ± 1 oktav: 400-1600
 - ± 2 oktaver: 200-3200
 - ± 3 oktaver: 100-6400
 - ± 4 oktaver: 50-12800
 - ± 5 oktaver: 25-25600

GSM: ~300-3400 Hz



AM: ~50-4000 Hz

Kodet lyd: 20-12...20 kHz



CD: 20~20000 Hz



Traktgrammofon:
~300-3000 Hz

http://www.recordedsound.no/documents/sandnes_no.htm

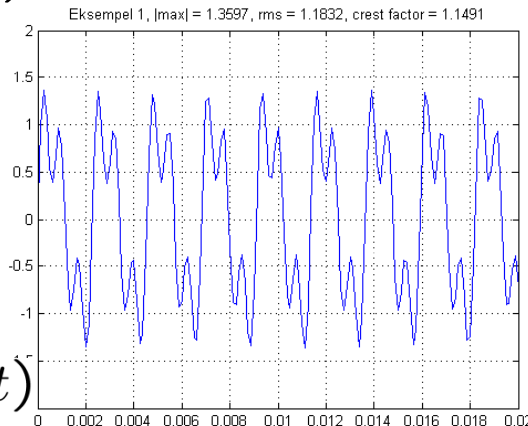
21. august 2012

13

Fase ved 440 Hz

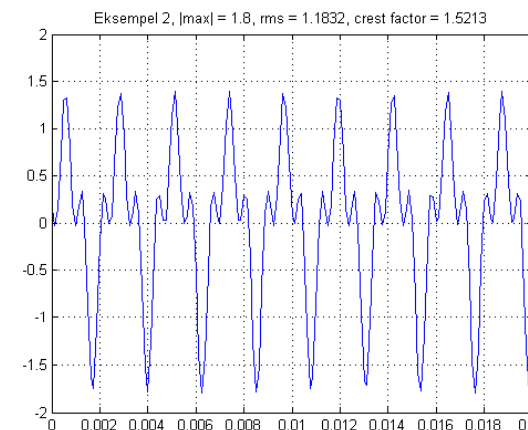
$$\sin(2\pi f_0 t) + 0.2 \sin(2\pi 2f_0 t) + 0.6 \sin(2\pi 3f_0 t)$$

- Rms = 1.1832
- Max = 1.3597
- Crest factor = max/rms=1.1491



$$\sin(2\pi f_0 t) + 0.2 \cos(2\pi 2f_0 t) - 0.6 \sin(2\pi 3f_0 t)$$

- Rms = 1.1832
- Max = 1.8
- Crest factor = 1.5213
- 2.4 dB høyere maks-verdi
- Fase er ikke så viktig for hørsel
- Fase og crest factor: Viktig for RF sendere, maks nivå CD



desiBel - dB

Definisjon:

$$dB = 10 \log_{10} (P_1/P_2)$$

- der P_1 og P_2 er effekter

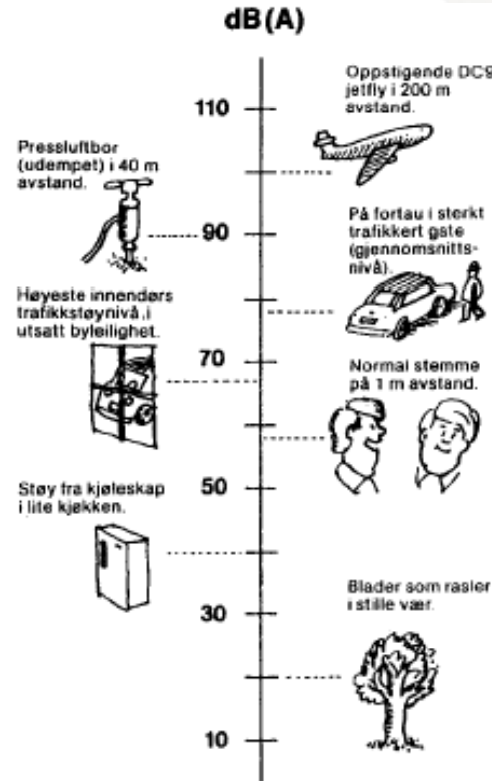
Da $P=U^2/R$,

- der U er spenning og R er motstand
- La $R_1=R_2$:

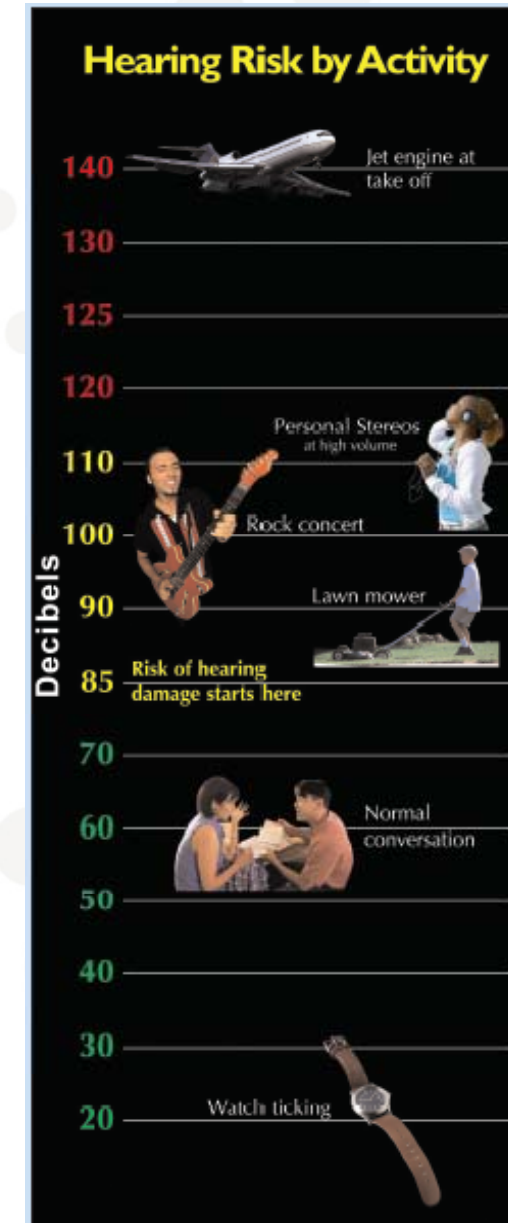
$$dB = 10 \log_{10} (P_1/P_2) = 20 \log_{10} (U_1/U_2)$$

dB	Spenning	Effekt
0	1	1
1	1.12	1.26
3	1.41	2
6	2	4
10	3.16	10
20	10	100
-3	0.71	0.5
-6	0.5	0.25
-10	0.32	0.1
10m	$10^{m/2}$	10^m
6m	2^m	4^m

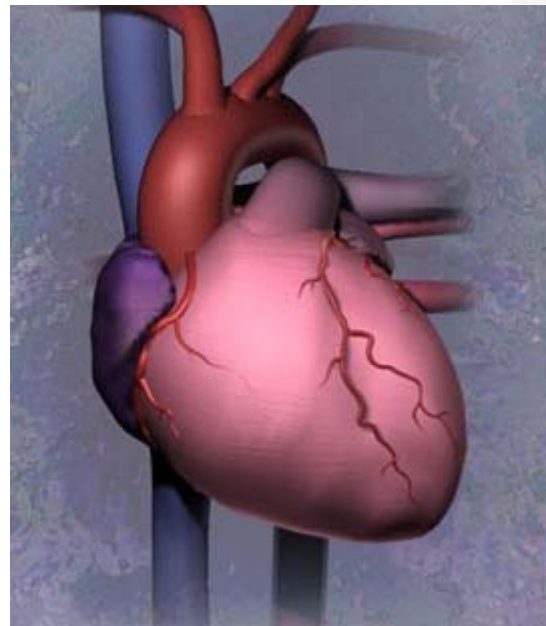
dB er ikke bare lydnivåer!



dB relativt til $20 \mu\text{Pa}$

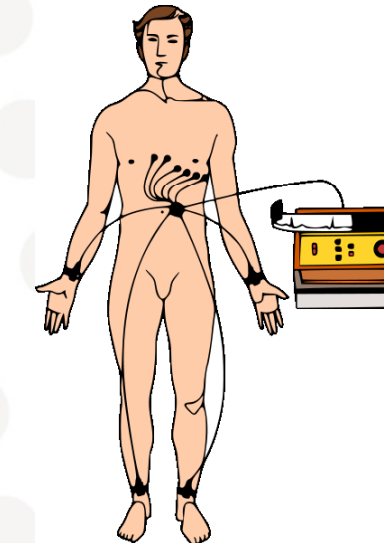


Elektrokardiogram (EKG)

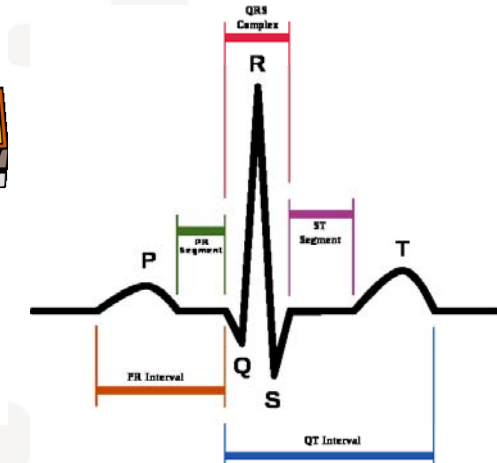
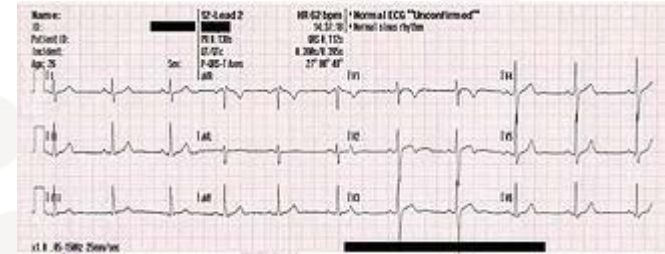


- <http://www.atenmedicalart.com/anim/heart.htm>

21. august 2012



- Wikipedia

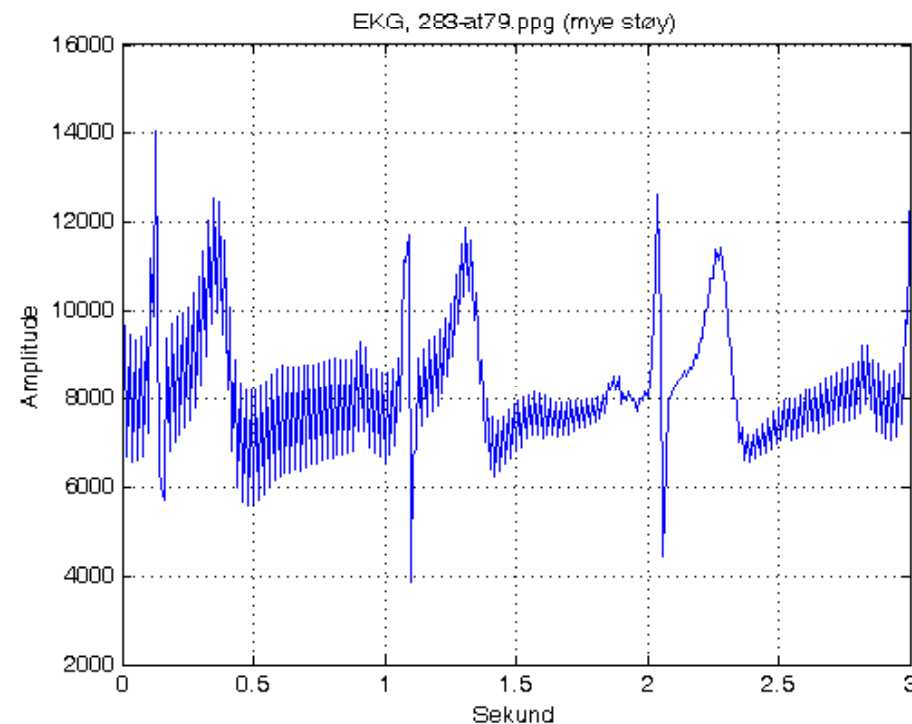


17

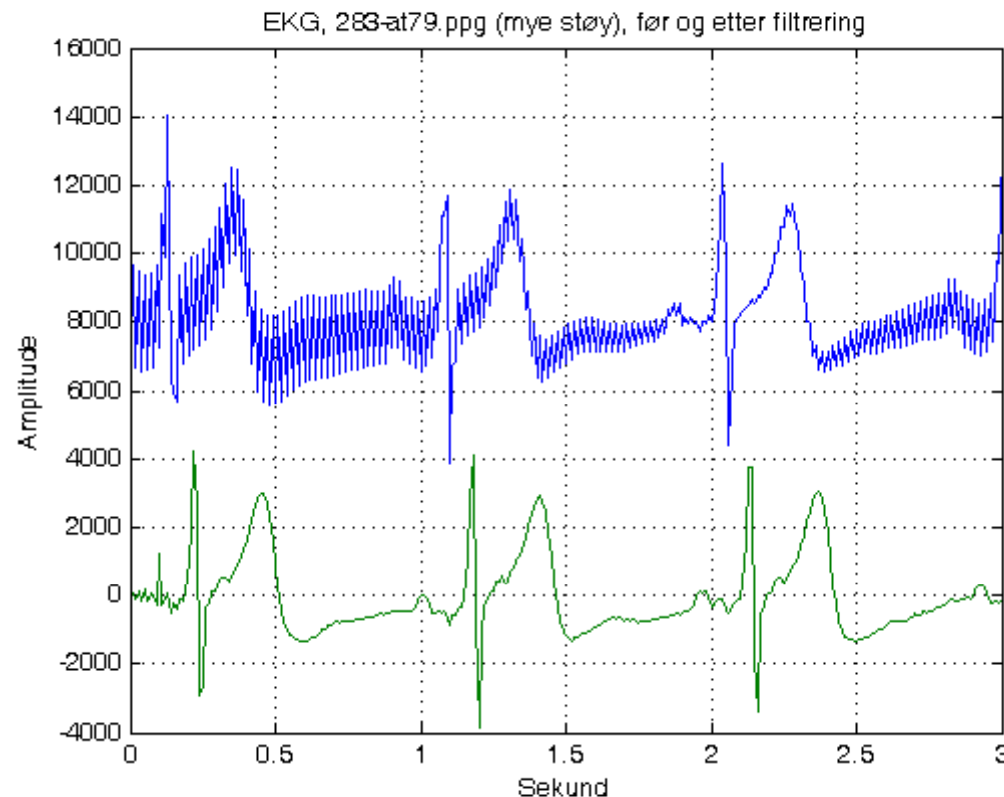
Støyfiltrering på EKG-signal

- Matlab: [Aase.m](#) - Filtrere bort 50 Hz fra EKG-signal

- Data fra Ottar Aase,
Kardiologi, Ullevål
Universitetssykehus



EKG: Før og etter filtrering



21. august 2012

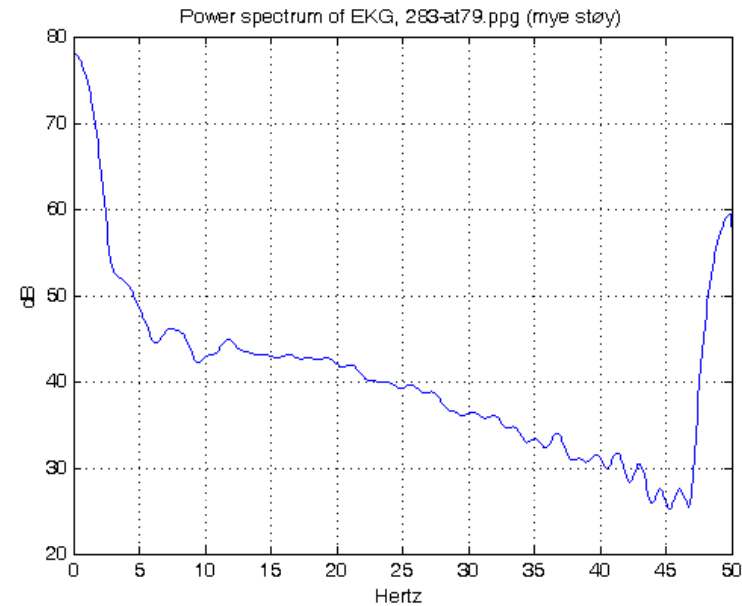
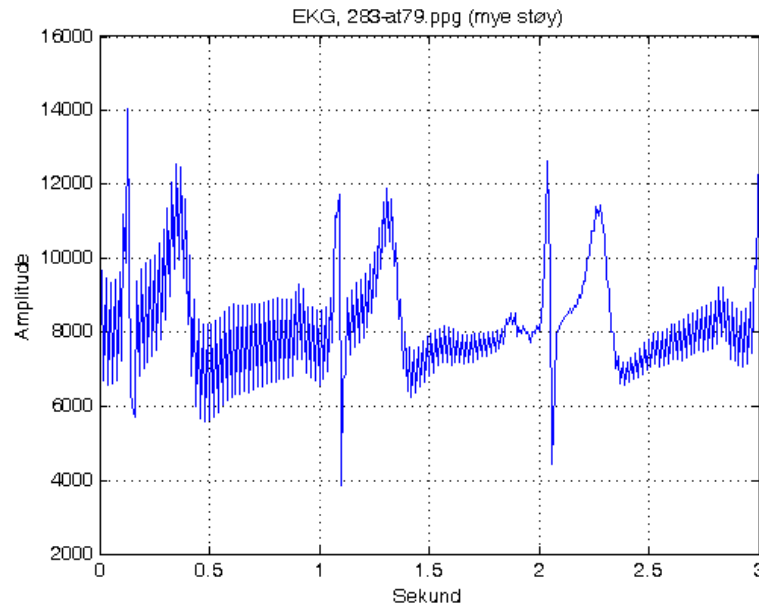
19



UNIVERSITETET
I OSLO



Tids- og frekvensanalyse



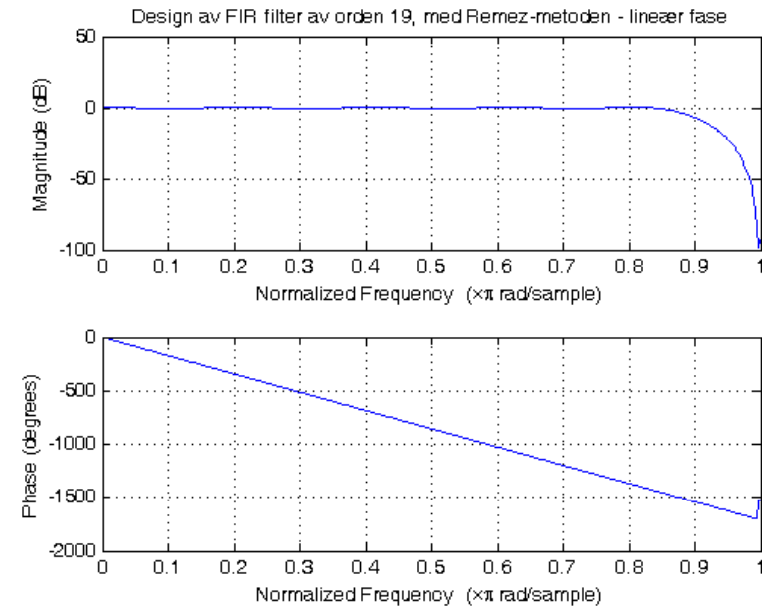
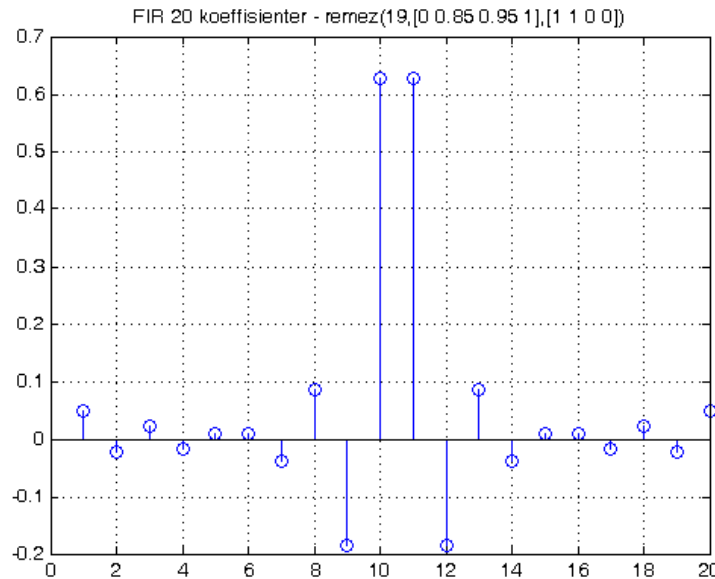
21. august 2012

20



UNIVERSITETET
I OSLO

EKG: Filter for støyfiltrering



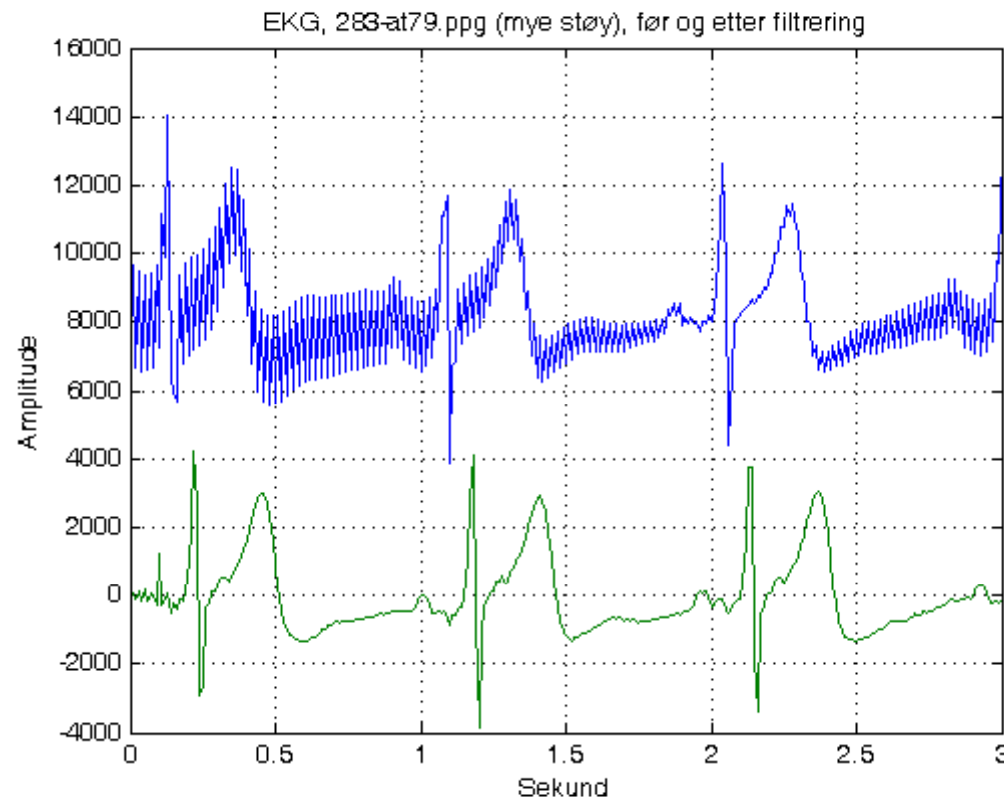
21. august 2012

21



UNIVERSITETET
I OSLO

EKG: Før og etter filtrering



21. august 2012

22

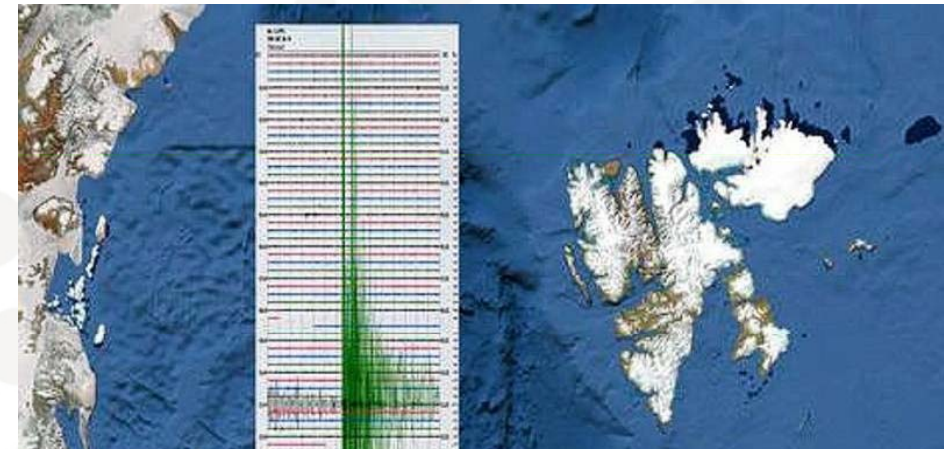


UNIVERSITETET
I OSLO

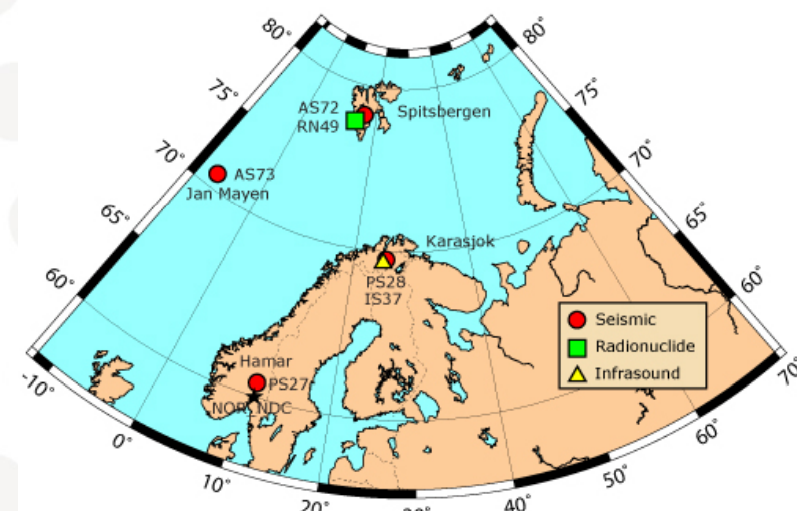


Seismologi: Jordskjelv rystet Svalbard

- "Et jordskjelv med en styrke på 6,5 inntraff utenfor Svalbard fredag formiddag. Dette er det sterkeste som noen gang er målt i vår del av verden."
 - Aftenposten 06.03.2009
 - <http://www.aftenposten.no/nyheter/iriks/article2964253.ece>



- Norge har 6 stasjoner (av 50) i the International Monitoring System (IMS)
 - <http://www.norsar.no/c-71-Station-Network.aspx>



21. august 2012

23



UNIVERSITETET
I OSLO



Teknisk aksjeanalyse

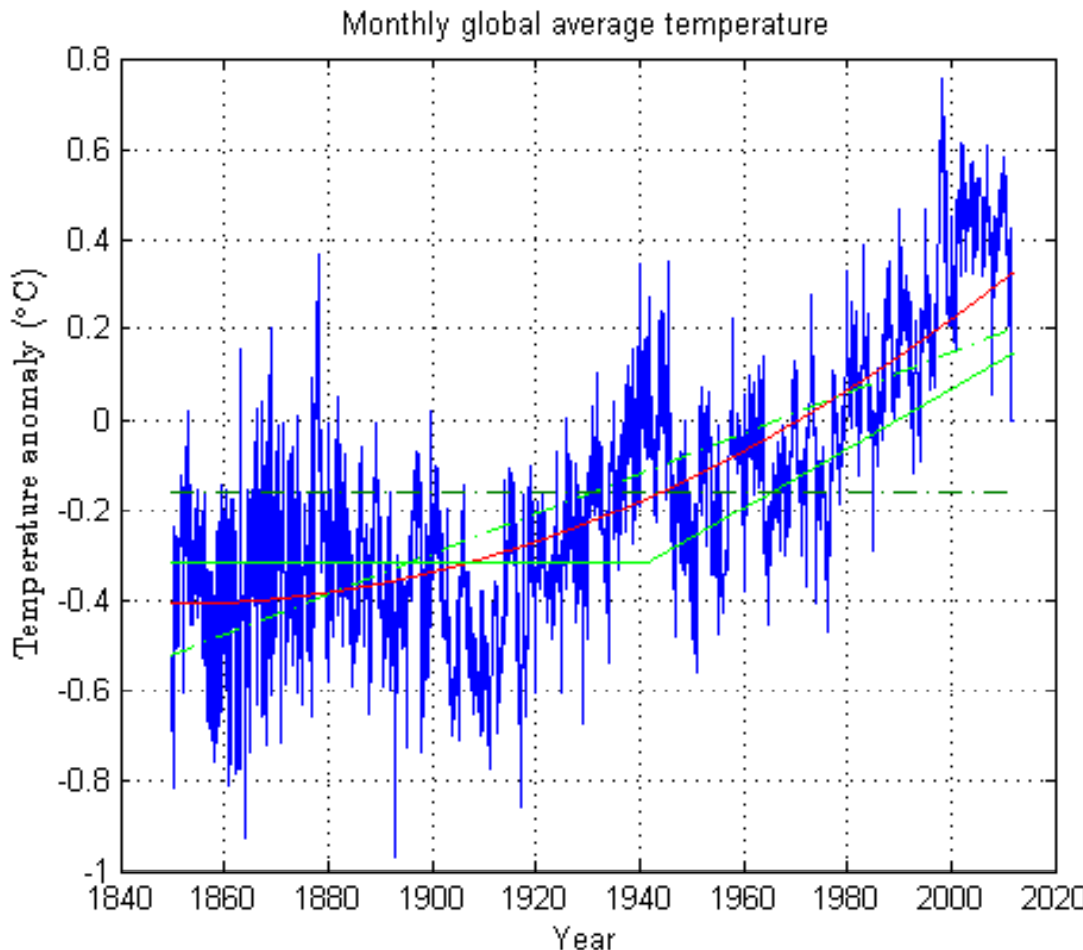


- Stock chart showing levels of support (4, 5, 6, 7, and 8) and resistance (1, 2, and 3); levels of resistance tend to become levels of support and vice versa.
- Wikipedia

21. august 2012

24

Midlere globalt temperaturavvik



- Middelverdi
- Lineær trend
- Stykkevis lineær
- Parabel

21. august 2012

25



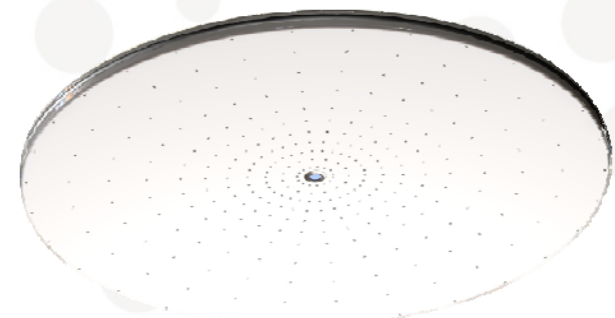
UNIVERSITETET
I OSLO



Mikrofonarray for konferanserom og sport



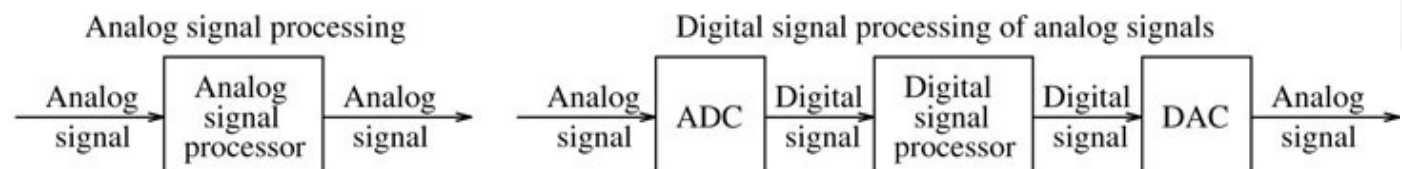
- 300 mikrofoner
- Kamera
- Squarehead
Technology,
Nydalen
- www.sqhead.com
- Simula auditorium



Analoge og digitale signaler

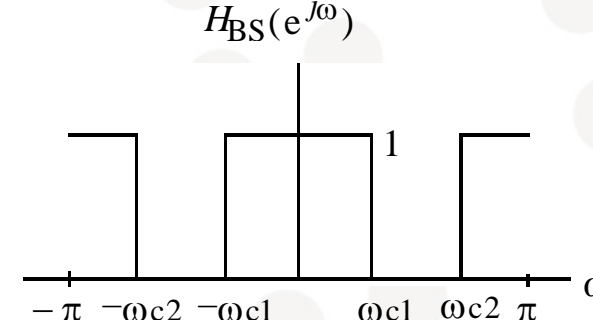
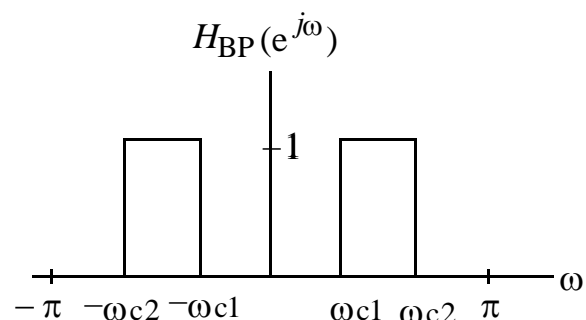
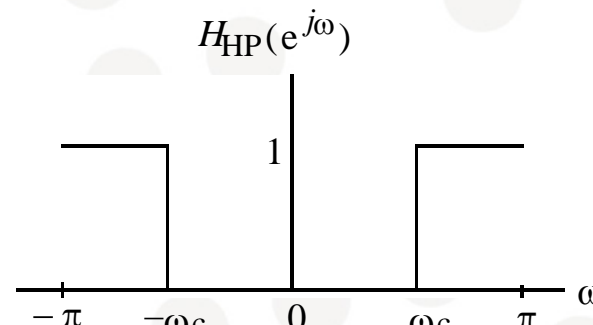
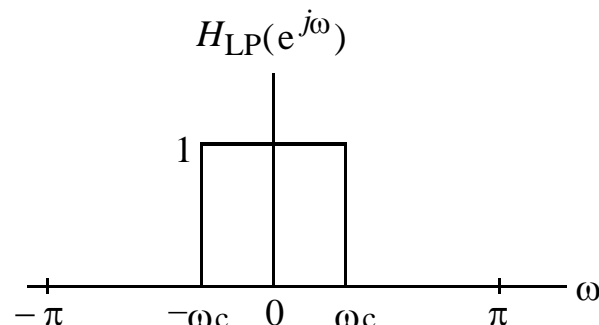
- Analoge signaler:
 - EKG
 - Musikk og tale
 - Seismologiske data
- Samplingsteoremet:
 - Sample på minst to ganger høyeste frekvens
- Anti-aliasing filter:
 - Analogt filter som fjerner høyeste frekvenser slik at samplingsteoremet blir oppfylt

FIGURE 1.1 Analog and digital signal processing



Systemer: filtre

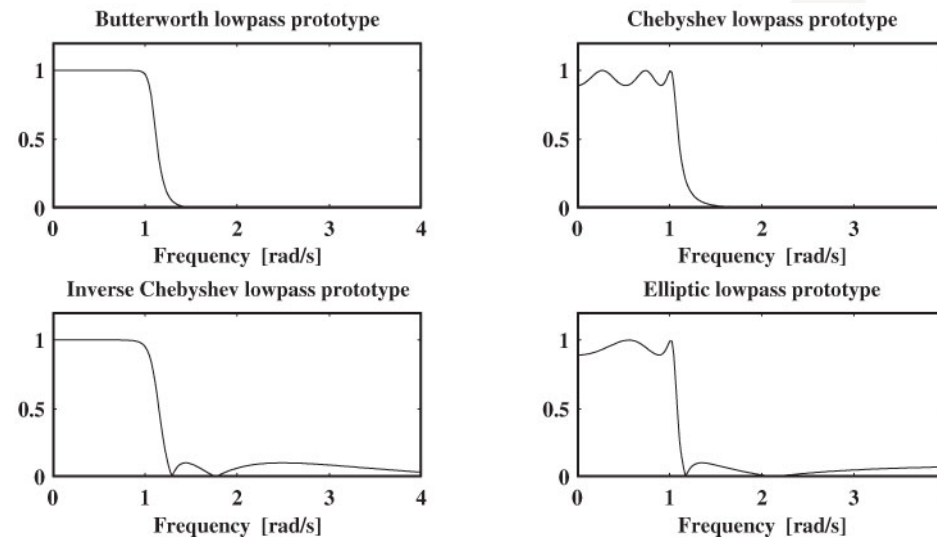
- Ideelle filter:
 - Lavpass, høypass, båndpass, båndstopp



Systemer: filtre

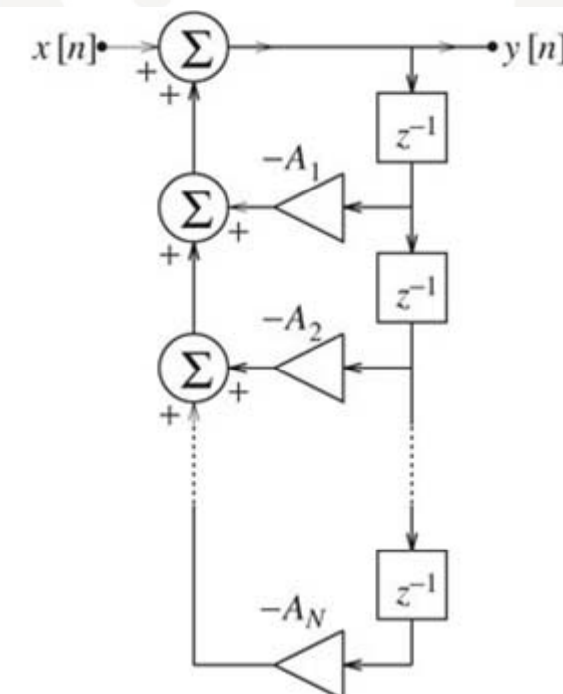
- Filterspesifikasjon
 - Passbånd, stoppbånd
 - Maksimalt flatt passbånd/stoppbånd
 - Ekviripple i passbånd/stoppbånd

FIGURE A.15
Classical analog
lowpass prototypes



Systemer: IIR Filtre

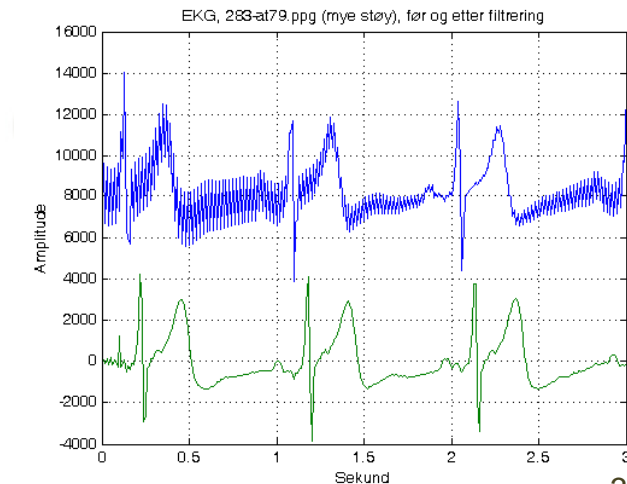
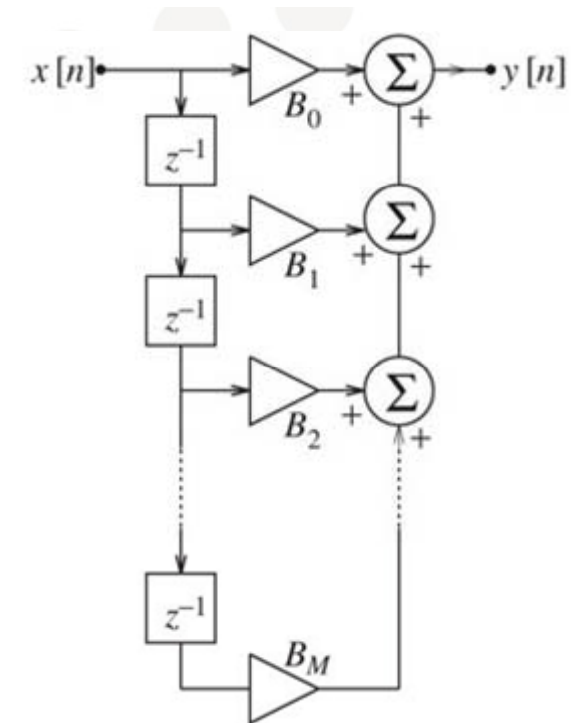
- IIR – Infinite Impulse Response
 - Transformerer klassiske analoge filtre
- Et IIR filter er rekursivt
 - har tilbakekoppling
 - (Fra fig 3.2)



Systemer: FIR filtre

- FIR – Finite Impulse Response
 - Bare foroverkoppling
 - Som regel mer beregninger enn IIR
- Kan lages med *lineær fase*
 - \Leftrightarrow Gruppforsinkelsen er konstant med frekvens
 - Alle frekvenser forsinkes like mye
 - Viktig for analyse i tidsdomenet, eks EKG
 - Gjør også rekonstruksjonsfilterbanker enklere, eks mp3

21. august 2012



31



UNIVERSITETET
I OSLO

Spektralanalyse

- Tid - frekvens beskrivelse
- Noter har vært brukt i omtrent denne form siden 1000-tallet
- **Frekvens** er helt sentral for vår oppfatning av lyd

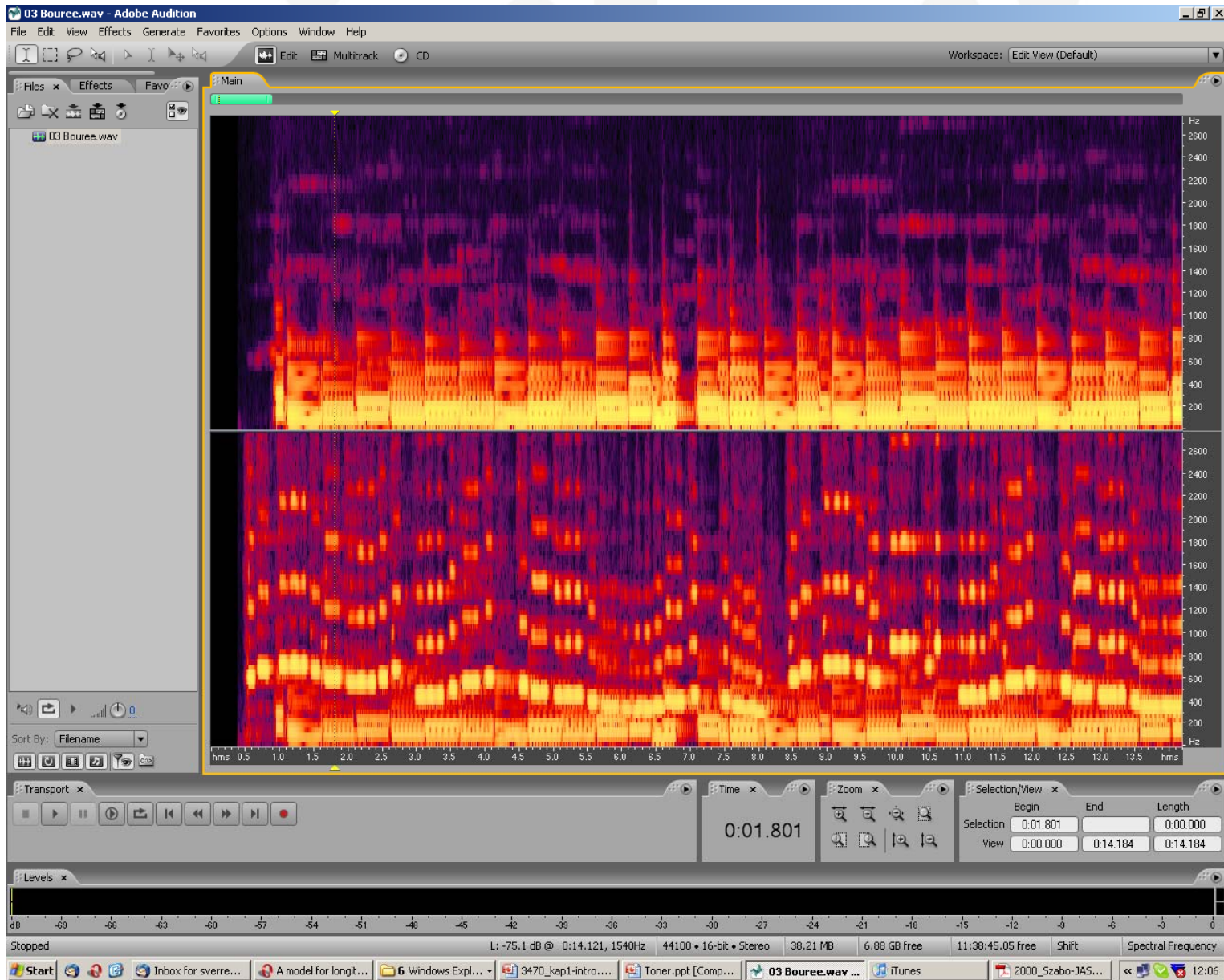
Bouree
J.S. Bach

The musical score consists of five staves of music for two voices (Soprano and Alto) and basso continuo. The score is in common time, treble clef for Soprano and Alto, and bass clef for basso continuo. The music features various note values including eighth and sixteenth notes, with rests and dynamic markings like forte (f), piano (p), and mezzo-forte (mp). The score is divided into measures by vertical bar lines, with some measures containing multiple groups of notes. A central box contains the text: "Registered Members of Sheet Music Online may download this piece by clicking on either the IBM or Macintosh version!"

© 1996 <http://sheetmusic.cenomet.com>



UNIVERSITETET
I OSLO



21. august 2012

33

Historie

- Før 50-tallet: Bare tidskontinuerlig analog signalbehandling (elektroniske kretser)
- 1928: Nyquist; 1949: Shannon-samplingteoremet
- Digital signalbehandling på 50- og 60-tallet:
 - Behov for prosessering i seismikk
 - Simulere analoge systemer på datamaskin (fleksibilitet)
- Viktige faktorer som bidro til dagens digitale implementering av systemer:
 - Fast Fourier transform (FFT) 1965: Cooley & Tukey
 - Utvikling i mikroelektronikk

An Algorithm for the Machine Calculation of Complex Fourier Series

By James W. Cooley and John W. Tukey

An efficient method for the calculation of the interactions of a 2^m factorial experiment was introduced by Yates and is widely known by his name. The generalization to 3^m was given by Box et al. [1]. Good [2] generalized these methods and gave elegant algorithms for which one class of applications is the calculation of Fourier series. In their full generality, Good's methods are applicable to certain problems in which one must multiply an N -vector by an $N \times N$ matrix which can be factored into m sparse matrices, where m is proportional to $\log N$. This results in a procedure requiring a number of operations proportional to $N \log N$ rather than N^2 . These methods are applied here to the calculation of complex Fourier series. They are useful in situations where the number of data points is, or can be chosen to be, a highly composite number. The algorithm is here derived and presented in a rather different form. Attention is given to the choice of N . It is also shown how special advantage can be obtained in the use of a binary computer with $N = 2^m$ and how the entire calculation can be performed within the array of N data storage locations used for the given Fourier coefficients.

Mathematics of computation, pp. 297-301, 1965, American Mathematical Society

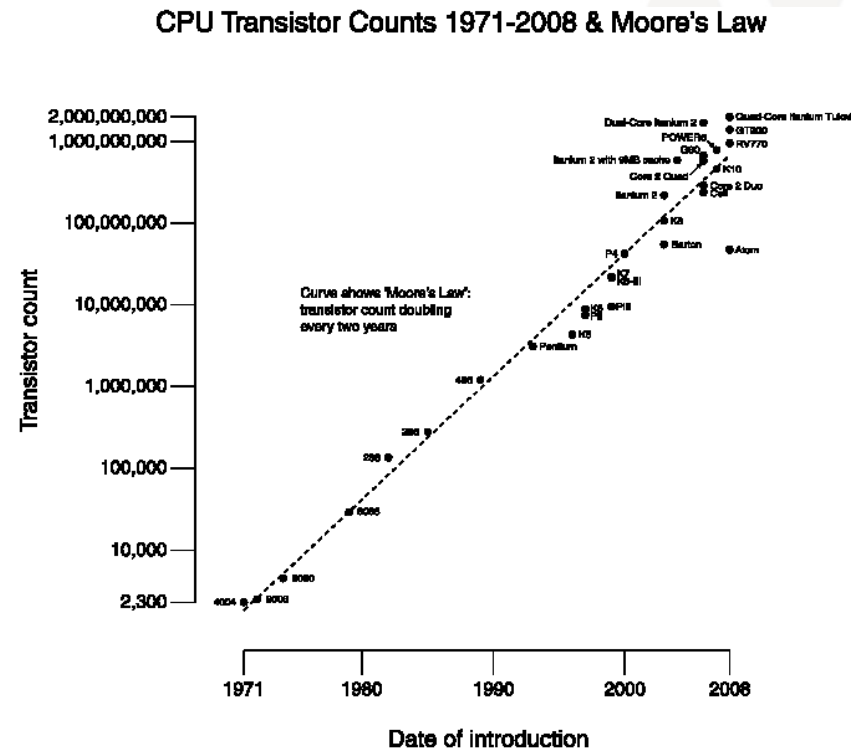
21. august 2012

35



UNIVERSITETET
I OSLO

Moore's lov: Dobling hvert annet år



Microprocessor	Year of Introduction	Transistors
4004	1971	2,300
8008	1972	2,500
8080	1974	4,500
8086	1978	29,000
Intel286	1982	134,000
Intel386™ processor	1985	275,000
Intel486™ processor	1989	1,200,000
Intel® Pentium® processor	1993	3,100,000
Intel® Pentium® II processor	1997	7,500,000
Intel® Pentium® III processor	1999	9,500,000
Intel® Pentium® 4 processor	2000	42,000,000
Intel® Itanium® processor	2001	25,000,000
Intel® Itanium® 2 processor	2003	220,000,000
Intel® Itanium® 2 processor (9MB cache)	2004	592,000,000

<http://www.intel.com/technology/mooreslaw/>

Wikipedia Commons:
Transistor Count and Moore's Law - 2008.svg

21. august 2012

Intel i7 - 1,17 milliarder transistorer.
NVIDIA skjermkort 3 milliarder transistorer.

36



UNIVERSITETET
I OSLO

FFT vs Moores lov

- Direkte DFT vs FFT: $N^2 / N \log_2 N = N / \log_2 N$
- Moores lov: Ytelse \propto antall transistorer dobler seg hvert annet år
- Ekvivalent antall år med hardware-utvikling som spares inn ved å bruke FFT:
 - $N=128: \approx 18 \approx 2^4 \Leftrightarrow 4 \cdot 2 = 8$ år
 - $N=1024: \approx 100 \approx 2^7 \Leftrightarrow 7 \cdot 2 = 14$ år
 - $N=8192: \approx 630 \approx 2^9 \Leftrightarrow 9 \cdot 2 = 18$ år